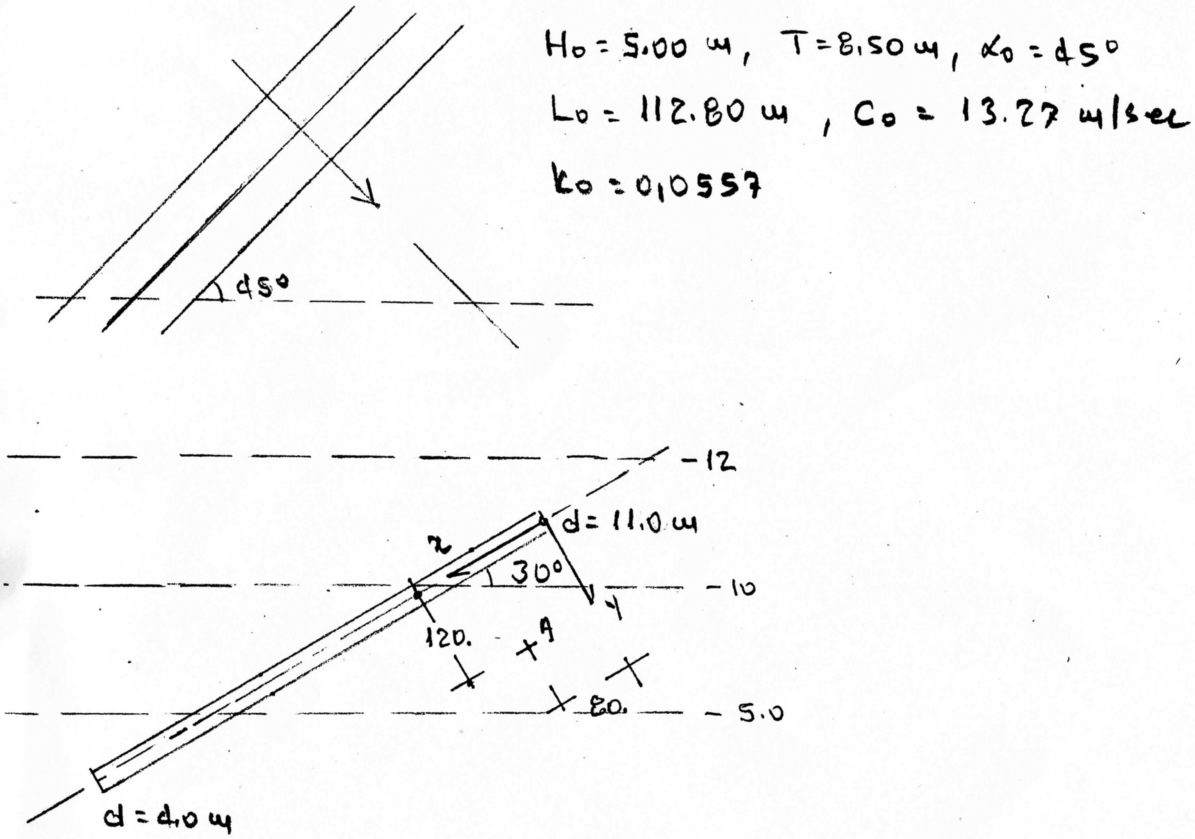

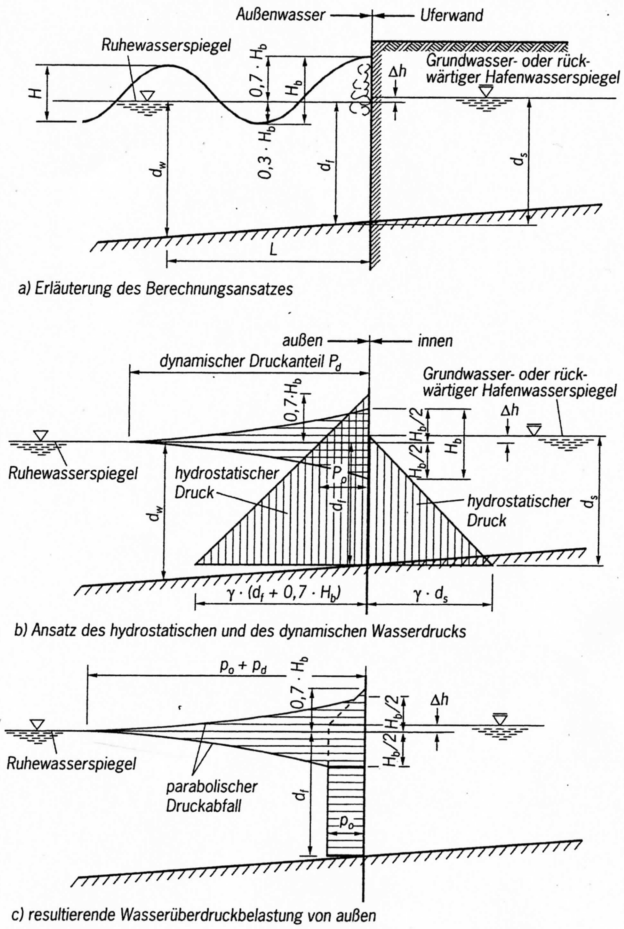

Bild E 135-2. Wellenangriff und dynamische und hydrostatische Wasserdruckverteilung und resultierender Wasserüberdruck an einer lotrechten Wand im Augenblick des Brechens der Welle, sinngemäß nach MINIKIN [22]